

# 台风会议文集

1974



# 台风会议文集

(1974年)

上海人民出版社

**台风会议文集**  
(1974年)

上海人民出版社出版  
(上海绍兴路5号)

新华书店上海发行所发行 上海商务印刷厂印刷

开本 787×1092 1/16 印张 21.5 字数 339,000  
1975年11月第1版 1975年11月第1次印刷

统一书号: 13171·144 定价: 1.45元

(只限国内发行)

# 前 言

中央气象局于一九七四年五月在厦门市召开了全国台风联防和科研协作会议。这次会议是在毛主席的“备战、备荒、为人民”的伟大战略方针指导下,在无产阶级文化大革命取得伟大胜利和批林批孔运动正在深入开展的大好形势下召开的。会上对台风预报服务和科学研究工作的经验进行了交流。会议共收到技术文件八十二篇,内容较丰富。这充分反映了我国广大气象工作者经过无产阶级文化大革命的锻炼,阶级斗争、路线斗争和继续革命的觉悟有了提高,促进了台风预报和科研工作的发展。从技术报告的内容看,不少研究成果是各有关气象台站和大专院校、专业研究机构开展社会主义大协作的产物。台风路径和台风降水的预报方法,普遍朝客观化、定量化的方向发展,从而提高了这些科研成果的实用价值。许多台站将台风预报服务实践中积累的经验,作了较系统的分析总结,初步归纳出一套比较有效的预报台风路径的天气学方法。各种数理统计模式由于与实际经验紧密结合,较好地反映了台风活动规律,在业务预报中已发挥一定的作用。台风路径和台风天气的动力学方法的研究有了新的进展。统计和动力相结合的预报方法也开始取得一些成果。不少专区、县台站,在继续开展单站要素剖面模式和群众经验总结研究工作的基础上,还设计了各种简单易行的数理统计方案,丰富了专区、县台站的预报工具。对台风发生发展的研究有了较大的进展,有些报告除在理论方面进行探讨外,还为将来实际应用作了努力。许多研究工作把天气图等常规资料与卫星云图和雷达回波结合起来分析,不仅使台风过程的物理图象更加清晰,还为台风路径和强度变化提供了预报依据。

现从这次会议技术文件中选择四十二篇,汇编出版《一九七四年台风会议文集》,供广大气象工作者参考使用。由于编者能力所限,错漏之处在所难免,欢迎读者提出宝贵意见。

一九七四年全国台风联防和科研协作会议技术组

一九七五年一月

# 目 录

1. 南海台风各类路径的预报判据 ..... 广东台风协作研究组 (1)
2. 台风登陆后的短期预报工具 ..... 江苏省气象局气象台 (13)
3. 西太平洋台风西行进入南海后路径明显北折  
    的分析和预报 ..... 国家海洋局海洋水文气象预报总台 (22)
4. 台风路径的分型统计预报方法 ..... 上海台风协作研究组 (29)
5. 应用多因子综合法预报南海台风对广西  
    的影响 ..... 广西壮族自治区气象局台风会战小组 (39)
6. 用信息量评分多因子综合比较法作西太平洋  
    台风路径预报 ..... 广东台风协作研究组 (45)
7. 用相似法预报台风路径的一个客观预报方案 ..... 中央气象局气象台 (57)
8. 台风路径的几种分型预报方案的试验 ..... 浙江省气象局 浙江大学数学教研组 (65)
9. 应用卡诺图作南海台风是否影响广西的预报 ..... 广西壮族自治区气象局台风会战小组 (71)
10. 西太平洋台风路径预报的一个统计动力学方  
    法 ..... 上海台风协作研究组 (76) ✓
11. 用分辨方程预报西太平洋台风路径 ..... 广东台风协作研究组 (83)
12. 预报西太平洋台风路径的正压原始方程 ..... 上海台风协作研究组 (87) ✓
13. 含有台风的高度场的客观分析方法 ..... 上海台风协作研究组 (97)
14. 因子的条件概率变换在定性回归分析中的应  
    用 ..... 浙江省气象局 浙江大学数学教研组 (104)
15. 环境流场相互作用对台风发生发展的影响 ..... 中央气象局气象台 (107)
16. 台风形成过程中海洋和大气之间的热量交换  
    ..... 中国科学院地理研究所气候室海洋气候组 (117)
17. 南海台风发生发展的一些预报经验 ..... 海军南海舰队司令部气象台 (134)
18. 1973 年盛夏我国南海多台风流场的初步分析  
    ..... 中国科学院大气物理研究所、北京大学地球  
    物理系、中央气象台卫星云图联合分析组 (140)
19. 7307 号台风发生发展过程与降水特征的分析 ..... 中国科学院大气物理研究所 (151)
20. 热带气旋强度变化的分析 ..... 上海台风协作研究组 (161)
21. 7209 号台风登陆后迅速衰亡原因的探讨 ..... 山东海洋学院海洋气象专业 (177)
22. 1973 年 7 月热带辐合带的活动对三个台风移  
    动的影晌 ..... 南京气象学院天气教研组 (184)
23. 秋季中南半岛和南海上空对流层上部反气旋

- 流场对台风发展的影响..... 中国科学院大气物理研究所 (194)
24. 西太平洋台风发生与辐合带云带变化时的高空形势 ..... 中国科学院大气物理研究所 福建省气象局气象台 (202)
25. 用天气图与单站资料相结合作 6~9 月太平洋台风中短期预报 ..... 广东省湛江地区气象台 (208)
26. 群众经验在台风预报上的应用 ..... 福建省霞浦县气象站 (215)
27. 台风集成预报方法 ..... 广东省汕头地区气象台 (217)
28. 用分辨法做台风短期预报 ..... 广东省徐闻县气象站 (222)
29. 利用经验公式逐步逼近法预报台风的登陆纬度 ..... 广东省海康县气象站 (225)
30. 群众经验在单站台风长期预报中的应用 ..... 福建省罗源县气象站 (229)
31. 近四年海上消失台风的卫星云图特征分析 ..... 福建省气象局气象台 (235)
32. 卫星云图上台风云系的亮度分析应用于台风强度和路径预报 ..... 南京大学气象系 中国人民解放军空军气象学校 (243)
33. 应用雷达回波资料预报台风路径 ..... 广东省汕头雷达站 (249)
34. 雷达回波与台风风雨分布关系分析 ..... 福建省气象局雷达站 (260)
35. 华东地区 24 小时和 48 小时台风暴雨预报 ..... 上海台风协作研究组 (267)
36. 台风对江西省的影响和一个判别预报方案 ..... 江西省气象局气象台 (276)
37. 华东台风降水的定量分析 ..... 上海台风协作研究组 (279)
38. 从 7303 号台风预报情况看目前台风路径预报的一些问题 ..... 中央气象局研究所二室 (297)
39. 7301 号、7315 号台风总结 ..... 福建省气象局气象台 福建省厦门市气象台 (309)
40. 7314 号台风强度分析 ..... 三八〇一〇部队中心气象台 (319)
41. 7314 号强台风的一些特征的分析讨论 ..... 广东省海南行政区气象台 (327)
42. 台风活动期间台湾地形槽对福建沿海大风的影响 ..... 福建省莆田地区气象台 (332)

# 1. 南海台风各类路径的预报判据

广东台风协作研究组

## 提 要

本文介绍的是利用南海台风从形成到登陆(或移出南海时)的总移向(以角度表示)和路径形式进行分型,然后根据南海台风形成时的初始形势特征,进行反复比较,找出不同类型的移向形势着眼点作为预报判据。此方法绕过南海台风移动中间的路径变化,直接预报登陆结果。

## 一、基本思路

在南海生成的台风,对华南沿海地区有很大的影响。由于南海台风距离沿海很近,路径摆动大,给预报服务和防台工作增加了困难,所以在分类过程中,采用绕过中间路径变化的办法,按南海台风的总移向(或路径趋势)进行分类。具体分类的规定是,从达到台风强度时的位置到登陆点(如未登陆,则以移出南海时或减弱成低压时的位置)的连线,方向用360度方位表示,分为六类,各类定义见表1。

表1 南海台风各类路径的定义

路径类别	移向范围	平均移向	个例数目
东北行	12°~47°	35°	11
北行	344°~360°	351°	4
抛物线行	西北→北→东北	↖	6
西北行	300°~327°	310°	12
双台风	打转→北→东北	♂	8
偏西行	230°~299°	288°	28

注:台风移向范围不连续处,是所选资料年限内未出现的情况。

毛主席指出:“我们看事情必须要看它的实质,而把它的现象只看作入门的向导,一进了门就要抓住它的实质,这才是可靠的科学的分析方法。”为此,对不同类型移向的南海台风,从形成时的500毫巴的环流形势特征和台风周围的主要系统的位置及强度出发,进行天气学方法的分析,找出造成同一类型移向的“共性”,又与所有的其他类型移向的特征比较,找出与其他类型移向区分的“个性”。最后从“个性”出发,制作出各类路径的预报判据和点聚图。由于采用互相比对的方法,有的类别虽然个例不多,但因抓住了影响该类型移向的环流特征,所以还是比较稳定的。

## 二、规定和气候概况

### (一) 规定

1. 南海台风: 在南海生成的台风, 包括南海低压, 或西太平洋热带低压移入南海后, 中心附近最大风力增强到 8 级以上, 称为南海台风。

2. 用图规定: 东亚 500 毫巴的环流形势特征和台风周围主要系统的位置及强度, 与台风路径的趋势有明显的关系。因此, 以达到台风强度时的东亚 500 毫巴形势特征作为台风路径趋势预报的初始场。并规定 08 时(北京时, 下同)和 14 时达到台风强度时, 用 08 时 500 毫巴环流形势图作初始场; 而在 20 时和次日 02 时达到台风强度时, 则用 20 时 500 毫巴环流形势图作初始场。

3. 要素选取: 一律选规定初始场时的 500 毫巴高空和地面资料。

4. 此方法只适用于 5~11 月的南海台风, 北部湾产生的台风因为个例很少, 没有归入。

### (二) 一些气候概况

1. 根据预报实践和近年来的卫星云图分析, 每年 5~11 月在南海生成的台风, 部分是由位于南海的赤道辐合带中的低压, 或与赤道西风槽有联系的低压槽移到南海后加强成台风; 另一部分是从西太平洋的热带低压扰动西移入南海后发展成台风。就其发展到台风强度的云图来看, 具有与西太平洋台风相似的螺旋云带和密蔽云区, 同时具有南海台风云型的特殊性, 它与路径趋势有一定关系。

2. 各类路径的季节分配统计: 由于寻找预报判据是选用资料较多的 1957~1971 年天气图, 所以把同期的各类路径分月统计, 将其结果列为表 2 中的分子。为使统计结果更具有代表性, 同样地统计了 1949~1971 年共 95 个南海台风的各类路径, 将其结果列为表 2 中的

表 2 南海台风各类路径的月际分布

月 份	类 别						合 计
	东 北 行	北 行	抛物线行	西 北 行	双 台 风	偏 西 行	
4	0/1		1/1			0/1	1/3
5	4/4	1/1	2/2	1/2	1/1		9/10
6	1/1	0/2	1/2	0/4	1/1	1/1	4/11
7	1/1	1/1	1/1	3/3	2/2	3/4	11/12
8	1/1			3/4	3/3	5/6	12/14
9	2/2	1/1	1/1	4/8		8/10	16/22
10	2/2			1/1		6/10	9/13
11		1/1			1/1	5/6	7/8
12						0/2	0/2
总 计	11/12	4/6	6/7	12/22	8/8	28/40	69/95

分母。可以看出各类路径具有明显的季节性：东北行类，在过渡季节较多；抛物线行类和北行类，以初夏为主；双台风类和西北行类，在盛夏占优势；偏西行类，以盛夏到秋季最多。各类路径的这种月际分布特点与环流形势的特征、主要系统的强度和位置有密切的关系。

### 三、各类路径的预报判据

#### (一) 东北行类

##### 1. 形势特征

东亚沿岸( $120^{\circ}\sim 130^{\circ}\text{E}$ )为槽，槽底达 $30^{\circ}\text{N}$ 或以南；太平洋副热带高压脊伸向菲律宾、中印半岛南部，或冲绳附近有台风(或低压)活动，致使太平洋副高脊不能迅速伸到冲绳附近，南海台风与冲绳附近的台风(或低压)发生双台风作用。具体形势模式见图1。

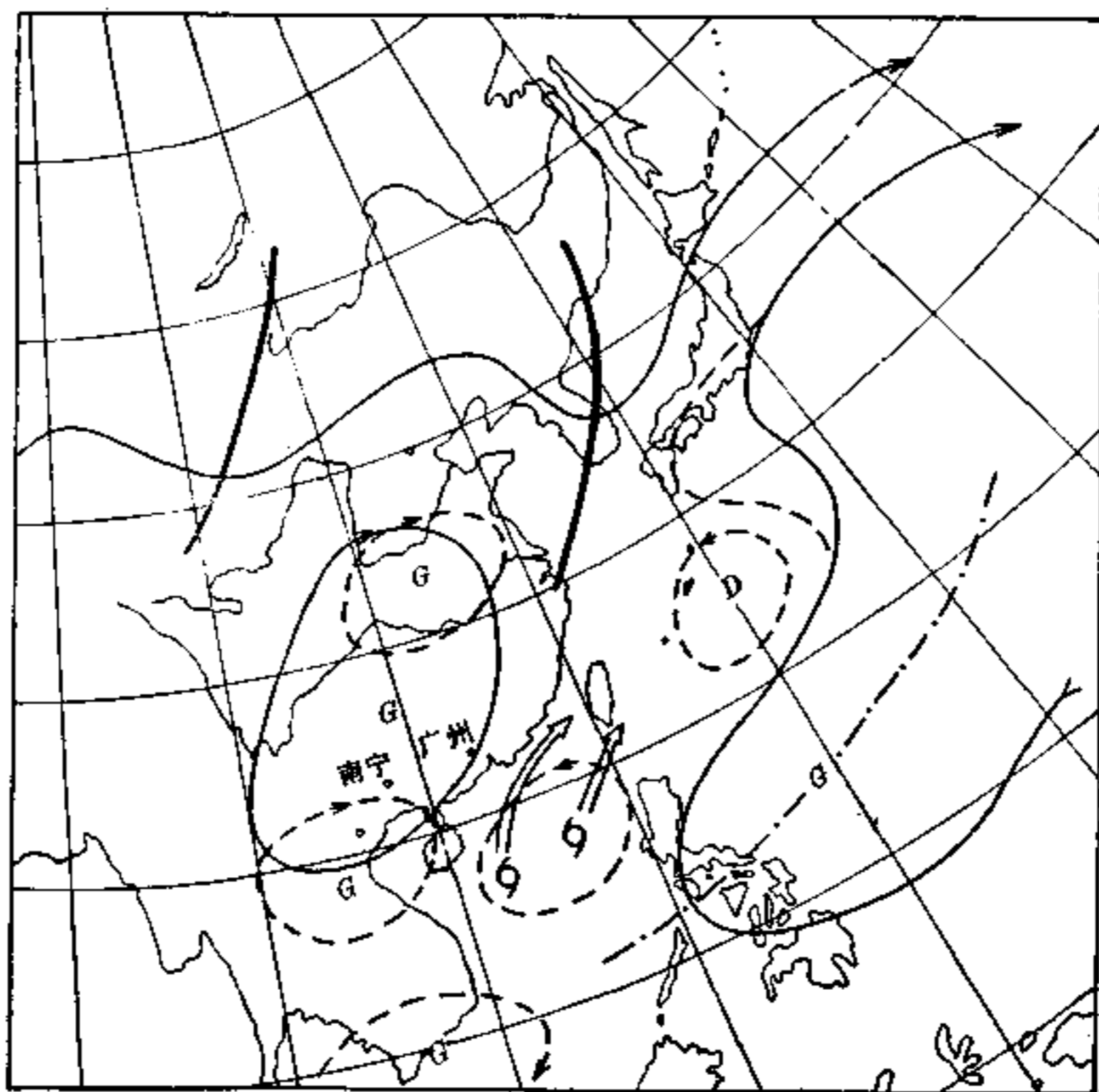


图 例

- 常出现的形势
- - - 可能出现的形势
- 槽线
- - - 副热带高压脊线
- 台风移向

图1 东北行类形势模式

## 2. 预报工具

(1) 路径趋势预报: 当东亚沿岸( $120^{\circ}\sim 130^{\circ}\text{E}$ )有槽, 槽底达  $30^{\circ}\text{N}$  或  $30^{\circ}\text{N}$  以南时, 台

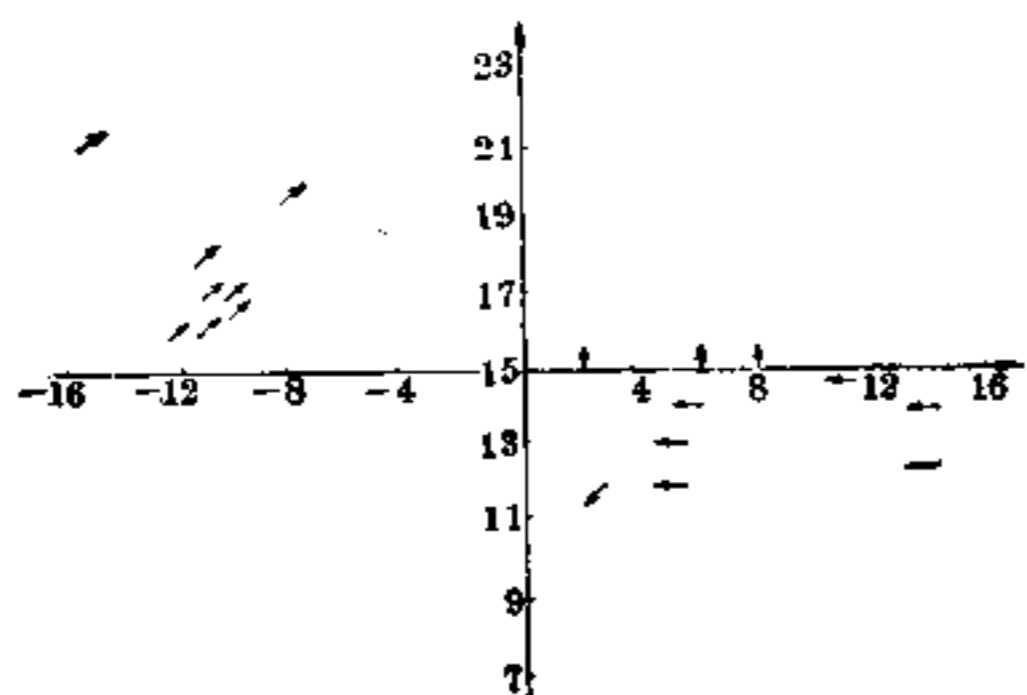


图2 预报台风移向点聚图

风中心经线上的副高脊线纬度减台风中心纬度 (当副高与菲律宾、中印半岛南部 588 线包围的高压同时存在时, 取后者) 作横坐标; 台风中心纬度作纵坐标, 制作成图 2。从图 2 看出: 当横坐标为负 (即副高伸向菲律宾、中印半岛南部, 台风纬度高于副高脊纬度), 纵坐标  $\geq 15^{\circ}\text{N}$  时, 即落在图 2 中的第二象限, 或冲绳附近有台风 (或低压) 活动, 致使太平洋副高脊不能迅速伸到冲绳附近, 则台风路径都属于东北行类。

(2) 具体移向预报: 在  $115^{\circ}\sim 120^{\circ}\text{E}$ 、 $20^{\circ}\text{N}$  以南海区生成的台风, 则从  $23^{\circ}\text{N}$  以南向东北方向移出南海。在该区以外生成的台风, 则向  $30^{\circ}\sim 41^{\circ}$  方向移动, 对珠江口以东近海有较大影响。

## (二) 抛物线行类

### 1. 形势特征

西风槽位于  $100^{\circ}\sim 120^{\circ}\text{E}$  之间, 槽底达  $30^{\circ}\text{N}$  或  $30^{\circ}\text{N}$  以南, 台风位于槽底东南方, 槽线与  $35^{\circ}\text{N}$  相交点的范围在  $105^{\circ}\sim 118^{\circ}\text{E}$ 。  $110^{\circ}\sim 120^{\circ}\text{E}$  的副高脊线在  $23^{\circ}\text{N}$  以南, 588 线西脊点在  $111^{\circ}\text{E}$  或以东, 588 线在  $115^{\circ}\text{E}$  的南北宽度小于 10 个纬距。

具备上述条件的同时, 不能出现下列反面条件之一:

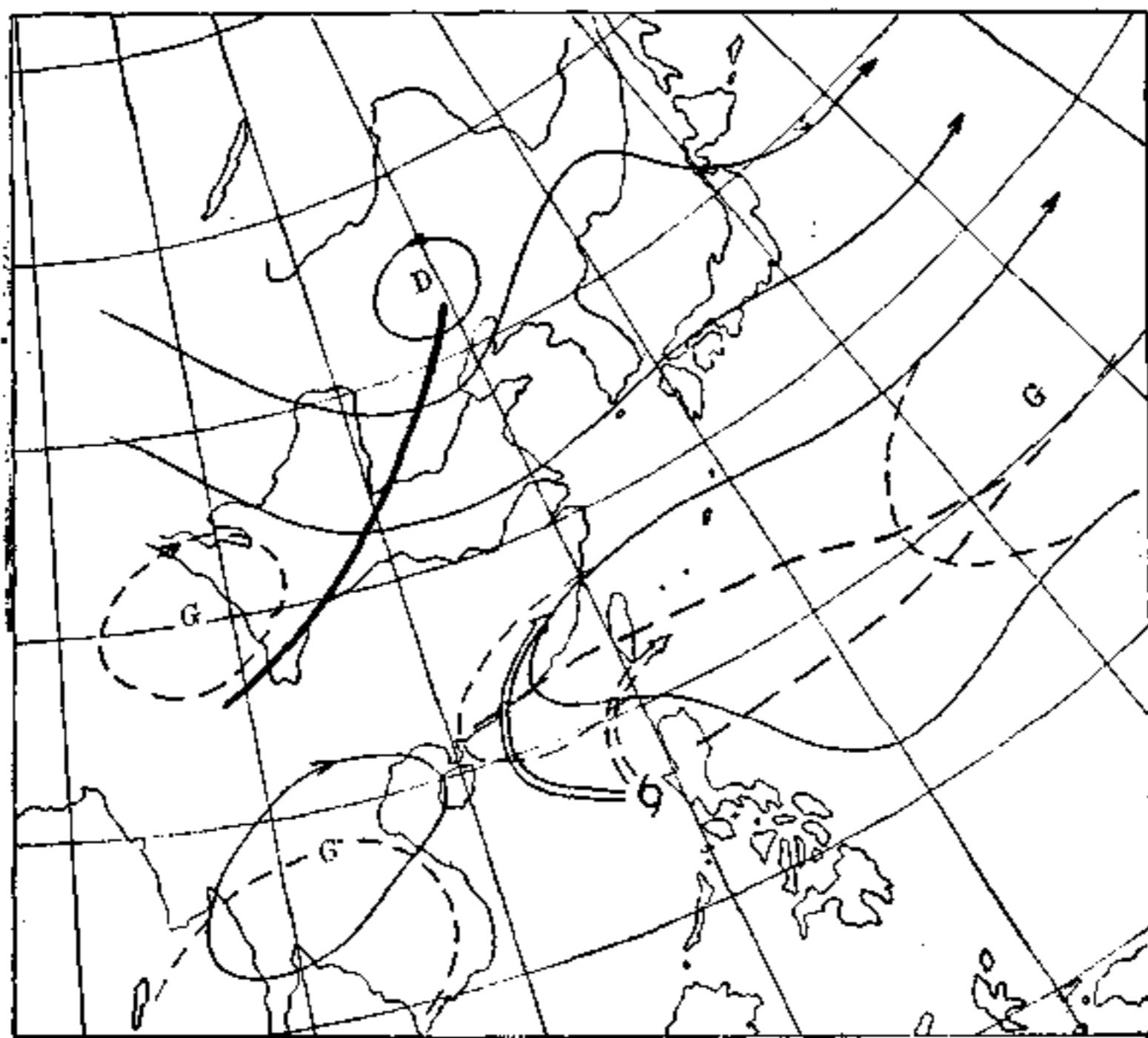


图3 抛物线行类形势模式

(1)  $120^{\circ}\sim 130^{\circ}\text{E}$  又有一槽, 副高伸向菲律宾、中印半岛南部。

(2) 有冷空气南下, 低层东北气流强。具体形势模式见图 3。

## 2. 预报工具

(1) 路径趋势预报: 具备上述形势特征的条件者, 则台风路径属抛物线行类。

(2) 具体移向预报: 具体条件见表 3。

表 3 抛物线行类台风具体移向表

台风类别	100°E 至日本东部沿海槽	台风生成位置	台风移向
登陆台风	该范围内只有一个槽, 此槽位置在 $100^{\circ}\sim 120^{\circ}\text{E}$ 。	偏高 ( $14^{\circ}\text{N}$ 以北), 偏西 ( $116.5^{\circ}\text{E}$ 以西)。	① 副高伸到台风北侧, 588 线西脊点在 $110^{\circ}\text{E}$ 以东, 则台风先向 $280^{\circ}\sim 290^{\circ}$ 移动, 移至距副高脊点偏东一个经距处转向 $360^{\circ}\sim 15^{\circ}$ 。 ② 台风北侧无副高, 则台风先向 $290^{\circ}\sim 310^{\circ}$ 移动, 后转向北行。如台风生成纬度较低 ( $17.5^{\circ}\text{N}$ 以南), 且西风槽 (以 $100^{\circ}\sim 120^{\circ}$ 间的槽与 $30^{\circ}\text{N}$ 交点) 偏西 ( $110^{\circ}\text{E}$ 以西), 则台风北行登陆后转向 $40^{\circ}\sim 50^{\circ}$ ; 否则, 台风北行 6~12 小时后转向 $20^{\circ}\sim 30^{\circ}$ 移动, 并登陆。
不登陆台风	该范围内为双槽: 一槽在 $100^{\circ}\sim 120^{\circ}\text{E}$ , 一槽在日本东部沿海, 槽底达 $32^{\circ}\text{N}$ 以南。	偏低 ( $14^{\circ}\text{N}$ 以南), 偏东 ( $116.5^{\circ}\text{E}$ 以东)。	先向 $310^{\circ}\sim 330^{\circ}$ 移动, 移至距副高脊线一个纬距处转向北行, 6~12 小时后再折向 $35^{\circ}\sim 50^{\circ}$ 移动。

## (三) 北行类

### 1. 形势特征

华中、华南无高压, 或只有 588 线范围很小的高压, 引导气流不明显。广西、广东、福建

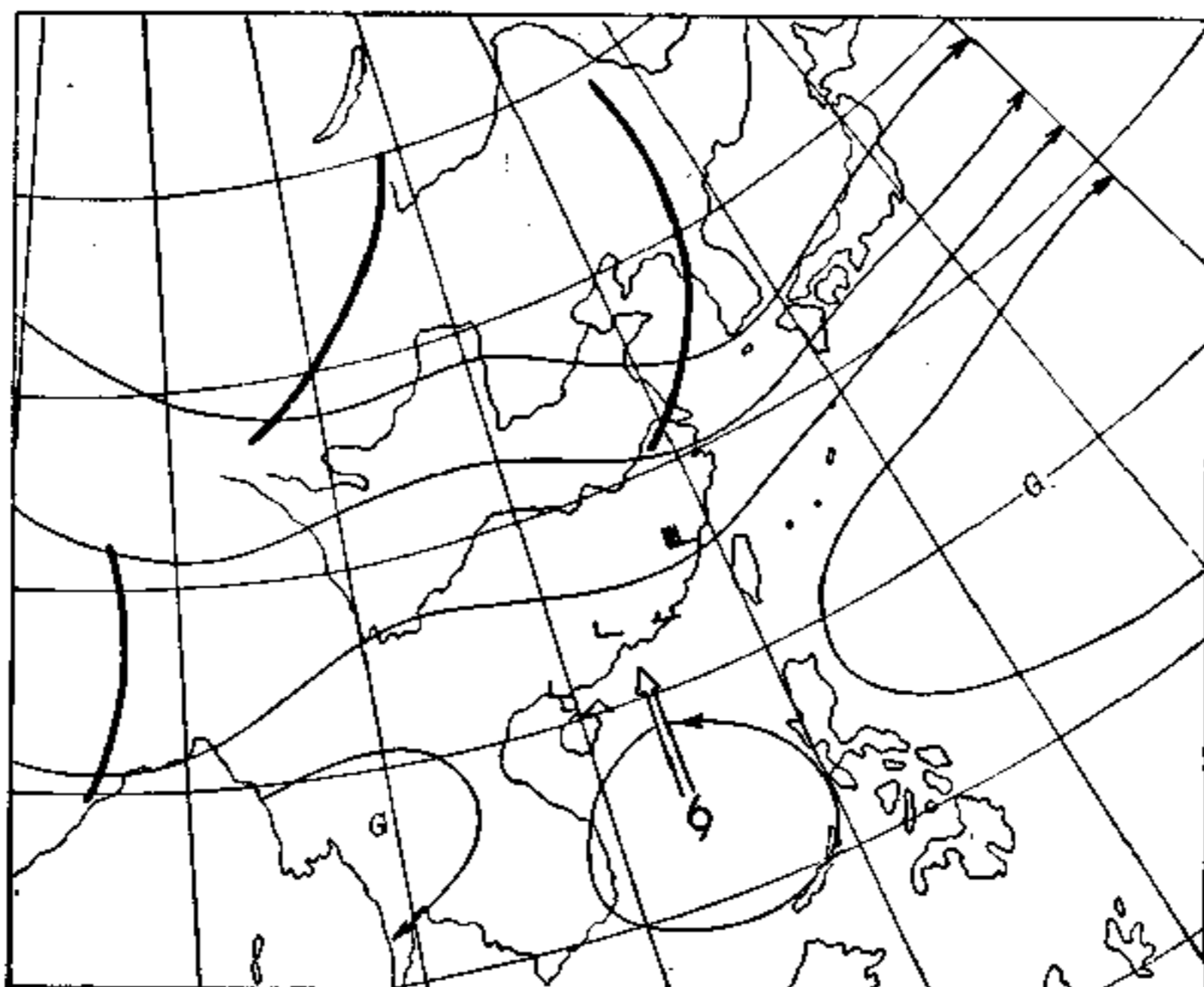


图 4 北行类形势模式

沿海风向乱, 风力弱( $\leq 6$ 米/秒), 其中汕头至湛江市沿海各站(包括汕头、汕尾、香港、广州、阳江、湛江)至少有一站吹西北风(WNW~NNW)。具体形势模式见图4。

## 2. 预报工具

(1) 路径趋势预报: 当汕头至湛江至少有一站吹西北风, 广州 500 毫巴高度  $\geq 584$ , 广州减汉口的 500 毫巴高度  $\leq 7$  时, 则台风路径属于北行类。

(2) 具体移向、移速预报: 移向为  $344^\circ \sim 360^\circ$ 。移速与台风环流范围大小有一定关系, 环流范围大, 移动慢; 环流范围小, 移动快。若以台风环流闭合的 584 线面积近似表示(即用 584 线东西宽的经距乘南北宽的纬距) 台风环流范围, 据统计, 面积大于 150 个单位者为慢速, 小于 130 个单位者为快速(见表4)。

表 4

未 来(小时)	慢 速	快 速
12	0.5~0.8 纬距	1.0 纬距
24	0.9~1.5 纬距	2.3~2.5 纬距
36	1.8~2.1 纬距	3.8~4.7 纬距
48	3.1 纬距	5.2~5.9 纬距
60	4.1~4.3 纬距	5.7~6.3 纬距
72	4.1~5.8 纬距	

## (四) 偏西行类

### 1. 形势特征

华南(指长江流域及以南地区)为副高控制, 高度大于 588; 或副高在  $110^\circ$  到  $120^\circ\text{E}$  的脊线位于  $23^\circ\text{N}$  以南, 与西太平洋上副高脊线同一纬度或稍低一些(暂称此为“东风延伸”)。台风受副高底部东北至东风作用。

同时, 不出现下列任一反面条件:

(1) 副高伸向菲律宾、中印半岛南部, 南海为西南气流控制(指 500 毫巴上); 或冲绳附近有台风(低压)活动, 西太平洋副高脊不能迅速伸到冲绳附近。

(2) 副高脊太偏北( $35^\circ\text{N}$ )或  $130^\circ\text{E}$  以东的副高脊线东南落。具体形势模式见图5。

### 2. 预报工具

(1) 路径趋势预报: 当汕头至湛江为东北至东风时, 且不具备上述任一反面条件。取特定区域( $22^\circ \sim 32^\circ\text{N}$ 、 $110^\circ \sim 120^\circ\text{E}$ ) 副高 588 线所包围的面积为横坐标  $S$ (用 588 线东西宽的经距与南北宽的纬距相乘近似表示椭圆形面积, 如为不规则形状者, 先拼成椭圆形再计算), 取  $110^\circ \sim 120^\circ\text{E}$  副高脊线平均纬度作纵坐标( $\in 120^\circ\text{E}$ ) 制作成图 6-1。

由图 6-1 看出: 具备形势特征, 横坐标( $S$ )大于 40 个单位, 则台风路径属于偏西行类。

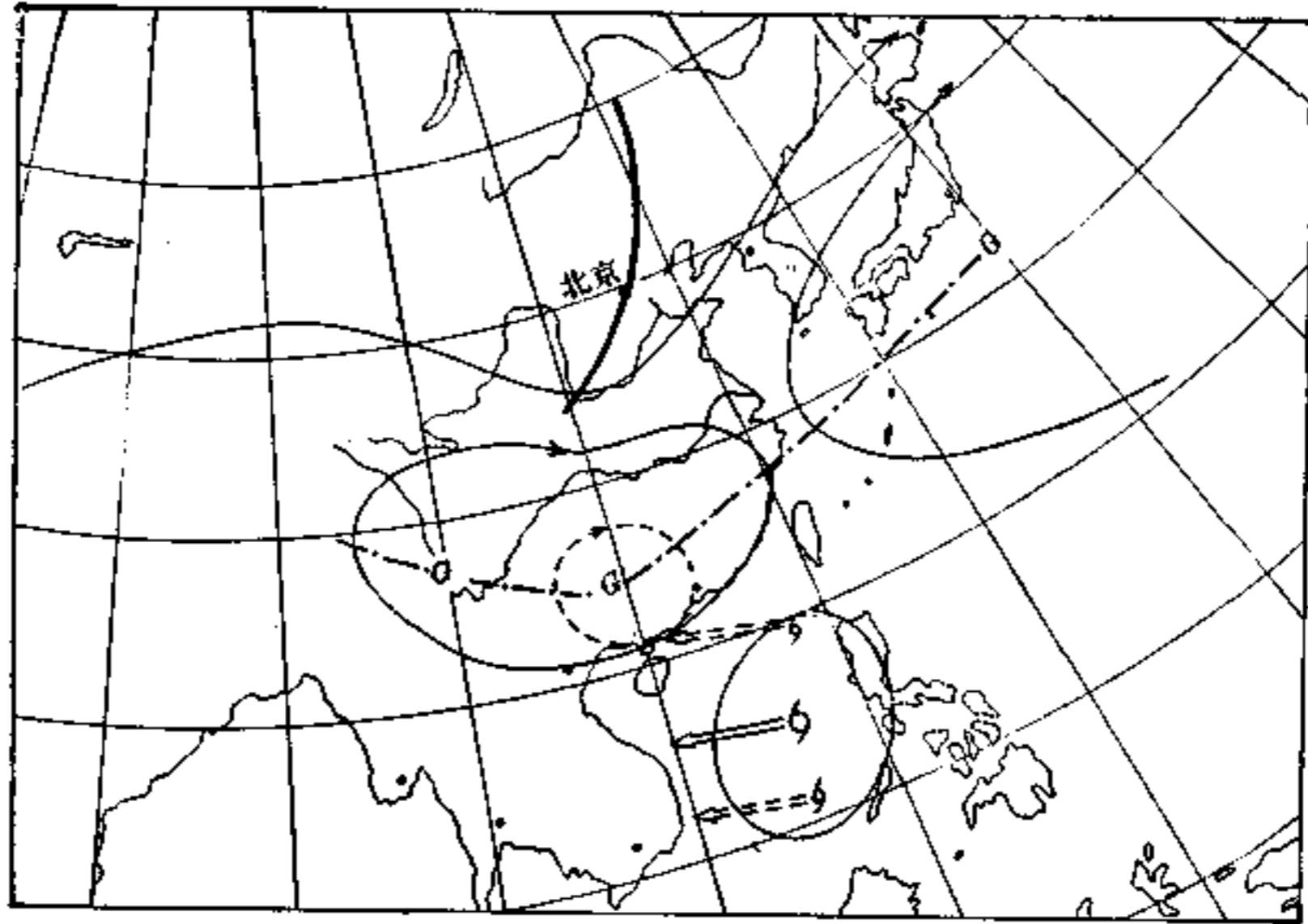


图 5-1

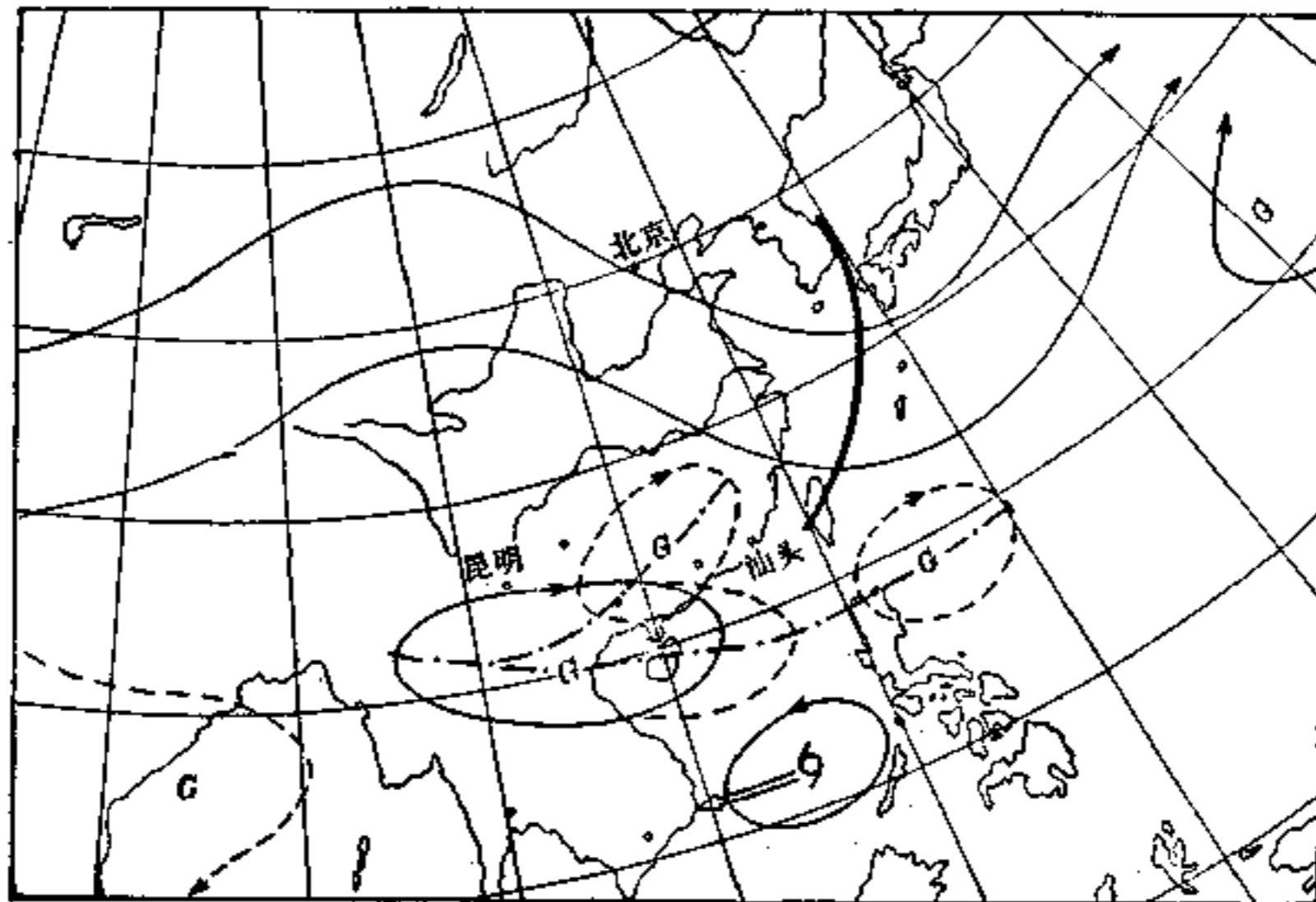


图 5-2

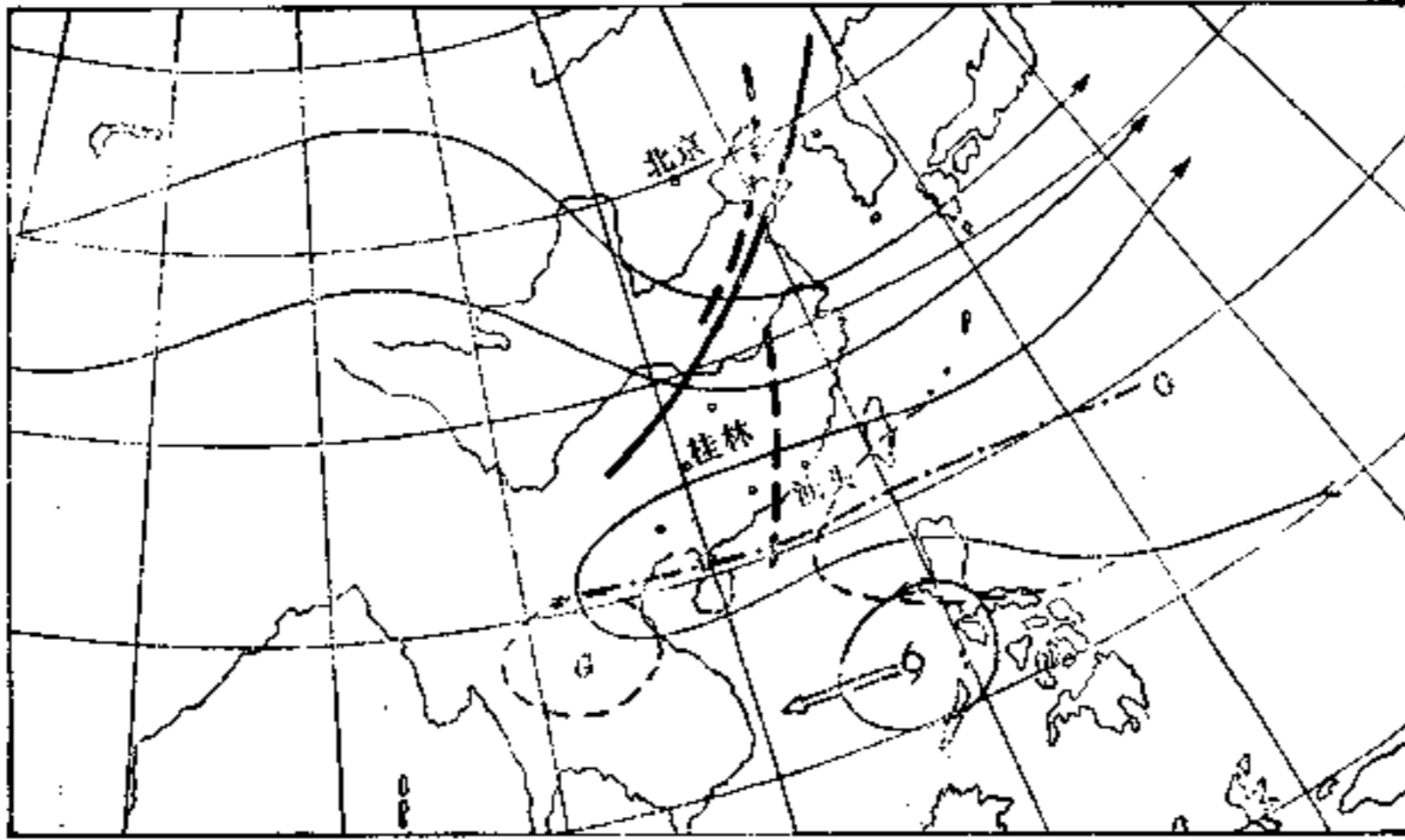


图 5-3

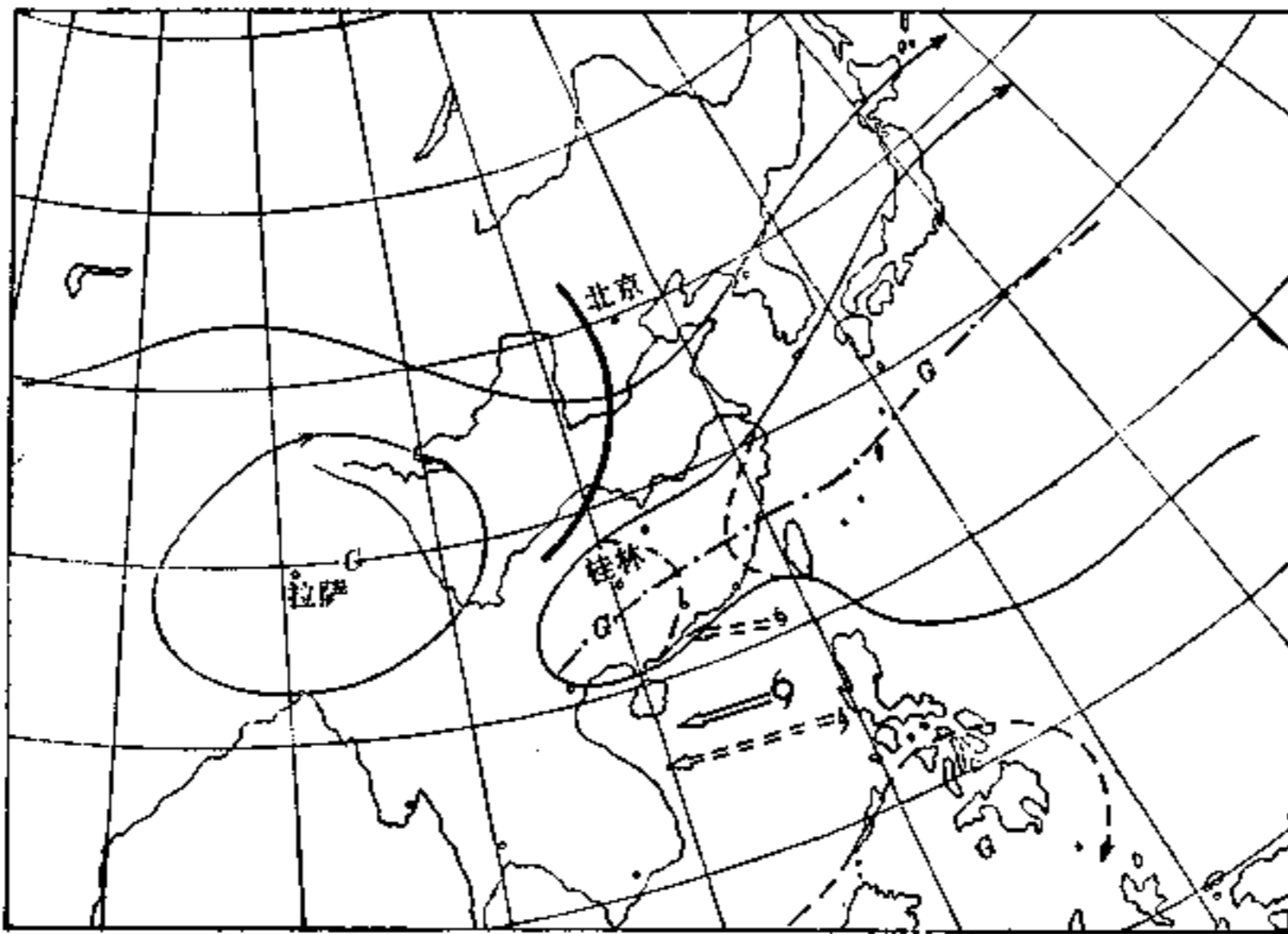


图 5-4

如果具备形势特征的正面条件,而不具备前面的路径趋势预报条件和反面条件的第(1)条,同时不具备汕头至湛江有一站吹西北风时,则使用图 6-2。该图是取  $130^{\circ}\text{E}$  以东副高脊线走向为横坐标( $\in 130^{\circ}\text{E}$ ),  $H$ (西宁减乌鲁木齐)为纵坐标。图 6-2 的第一象限为西行类台风,其余象限的台风为西北行类。

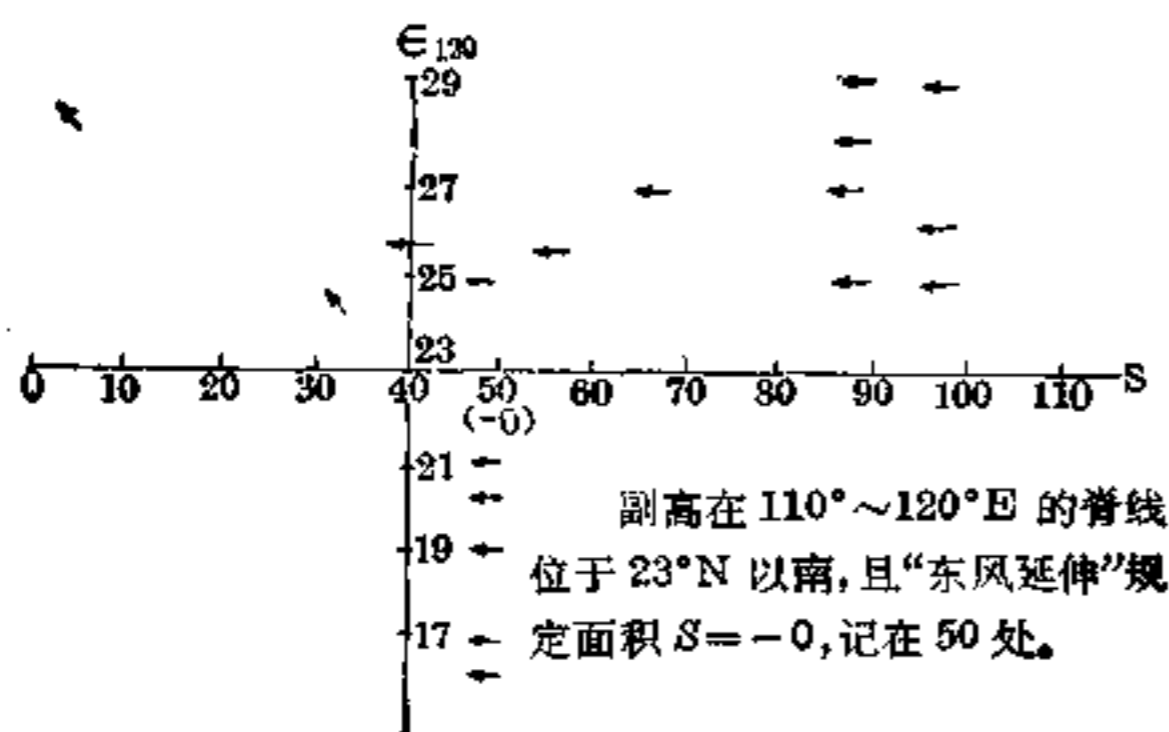


图 6-1

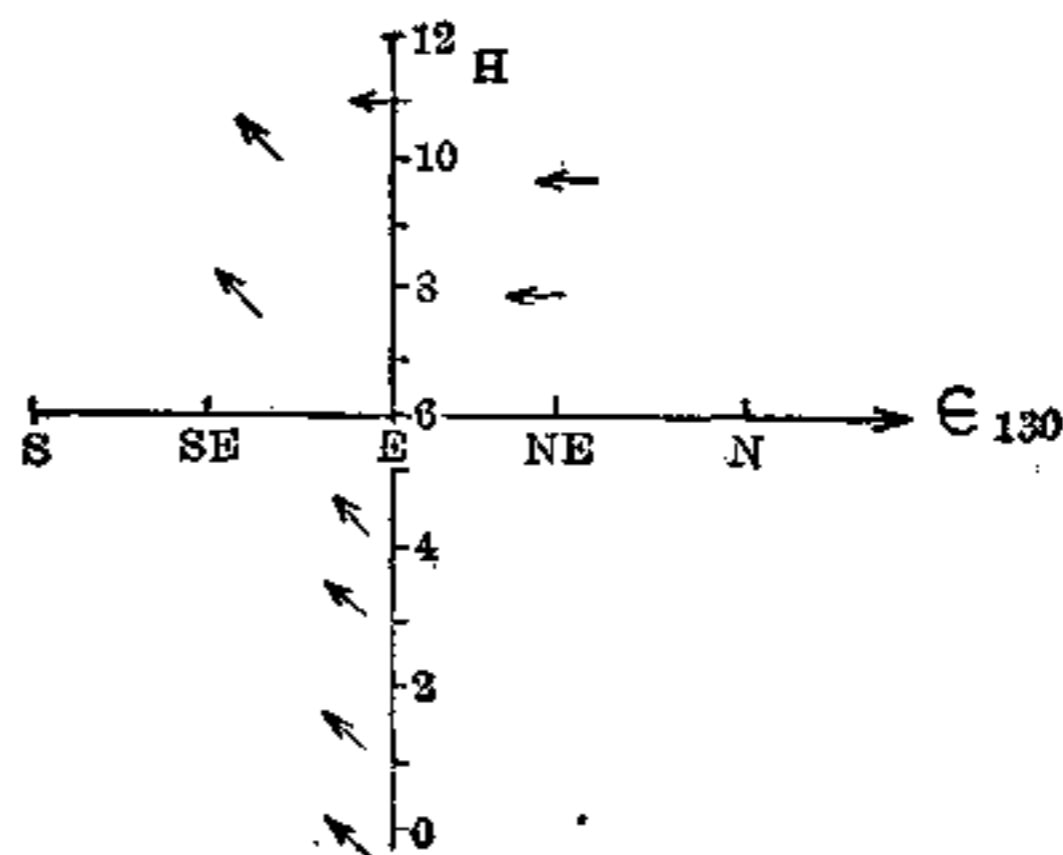


图 6-2

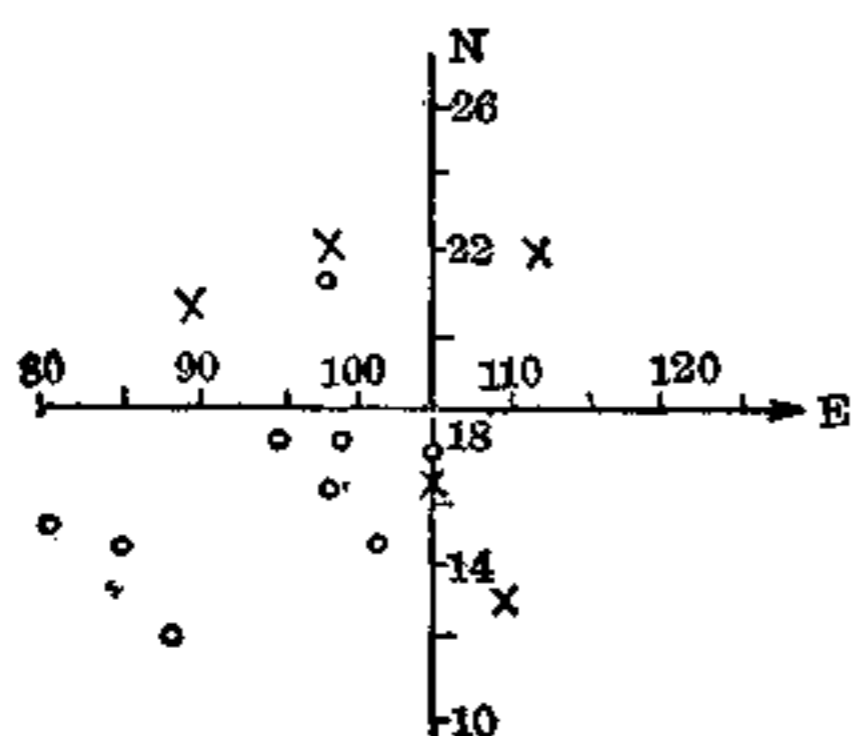


图 6-3

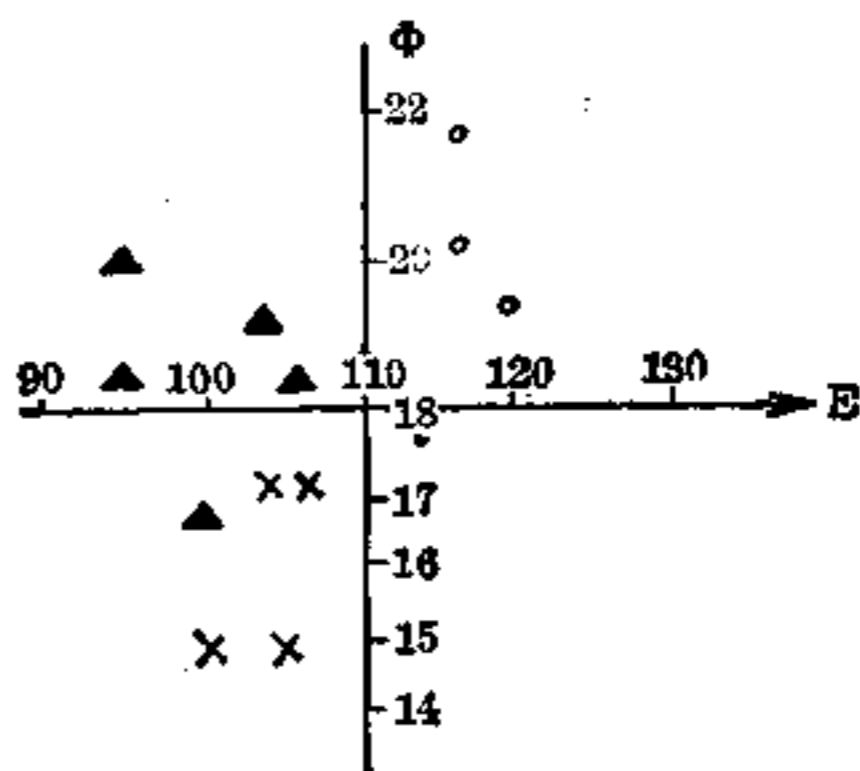


图 6-4

(2) 具体移向预报:如是  $15^{\circ}\text{N}$  以南生成的台风,使用点聚图 6-3。该图的横坐标  $E$  是 588 线西脊点所在经度,纵坐标  $N$  是 588 线底部所在纬度。结果表明:588 线底部在  $18^{\circ}\text{N}$  以南,且西脊点在  $105^{\circ}\text{E}$  以西,则台风在  $15^{\circ}\text{N}$  以南过  $110^{\circ}\text{E}$  偏西行(以  $\circ$  表示);相反,则台风在  $15^{\circ}\sim 17^{\circ}\text{N}$  过  $110^{\circ}\text{E}$  偏西行(以  $\times$  表示)。

如是  $15^{\circ}\text{N}$  以北生成的台风,则使用点聚图 6-4。该图的横坐标  $E$  是 588 线西脊点所在经度,纵坐标  $\phi$  是形成台风时纬度。结果表明:①如台风在  $18^{\circ}\text{N}$  或  $18^{\circ}\text{N}$  以北生成,则偏西行并登陆广东沿海,此时 588 线西脊点在  $110^{\circ}\text{E}$  以东时,台风以  $290^{\circ}\sim 293^{\circ}$  登陆广东(以  $\circ$  表示);西脊点在  $110^{\circ}\text{E}$  以西时,台风以  $278^{\circ}\sim 287^{\circ}$  登陆广东(以  $\blacktriangle$  表示)。②如台风在  $17^{\circ}\text{N}$  至  $15^{\circ}\text{N}$  附近生成,则从  $15^{\circ}\sim 18^{\circ}\text{N}$  之间过  $110^{\circ}\text{E}$  偏西行。③如台风在  $17^{\circ}\text{N}$  附近生成,588 线在  $110^{\circ}\text{E}$  南北宽度  $\leq 7$  个纬距时,则台风要登陆广东;如  $> 7$  个纬距时,则台风不登陆广东,将从  $15^{\circ}\sim 18^{\circ}\text{N}$  过  $110^{\circ}\text{E}$  偏西行。

## (五) 西北行类

### 1. 形势特征

不出现下列任一情况者,则台风属于西北行类:

- (1) 台风到副高脊线的距离为负(以台风中心所在经度上量取,以脊线纬度减台风中心纬度),或冲绳附近有台风(低压)活动,太平洋副高不能迅速西伸到冲绳附近。
- (2)  $110^{\circ}\sim 120^{\circ}\text{E}$  副高脊线在  $23^{\circ}\text{N}$  或  $23^{\circ}\text{N}$  以南。
- (3) 汕头至湛江有一站吹西北风。
- (4) 汕头至湛江为东北至东风,且脊线在  $33^{\circ}\text{N}$  以南,特定区域(见前面偏西行类定义)面积  $S\geq 40$  个单位。具体形势模式见图 7。

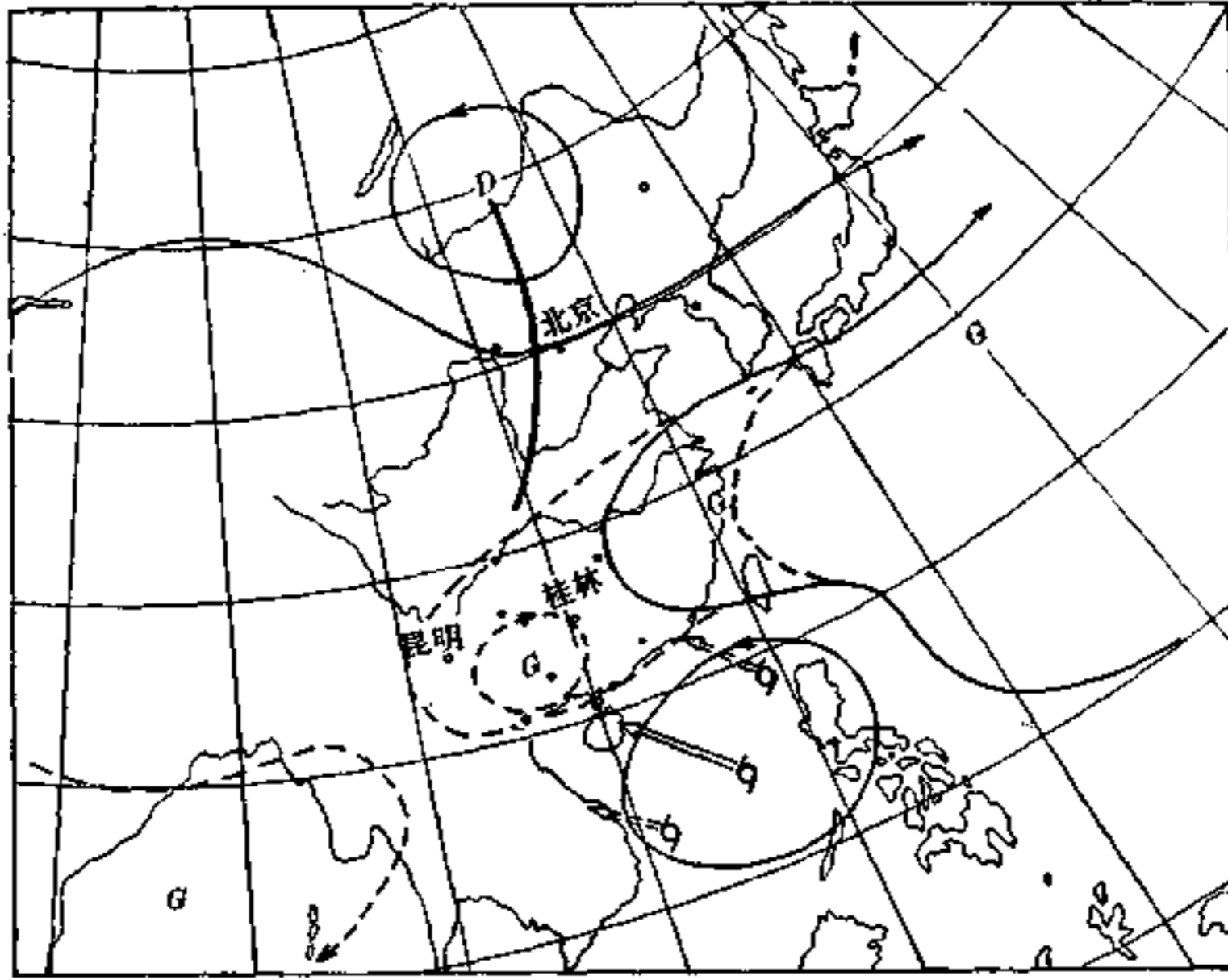


图 7 西北行类形势模式

### 2. 预报工具

(1) 路径趋势预报:不出现上述任一情况使用点聚图 6-2,落在图中第二、三、四象限的台风均西北行。

(2) 具体移向预报:副高脊线在  $120^{\circ}\text{E}$  以西位于  $26^{\circ}\sim 29^{\circ}\text{N}$  之间,而在  $120^{\circ}\sim 145^{\circ}\text{E}$  范围位于  $26^{\circ}\sim 32^{\circ}\text{N}$  之间,即副高脊线呈东东北至西西南向,或东至西向,则台风向  $300^{\circ}\sim 311^{\circ}$  移动(平均  $306^{\circ}$ );不符合上述情况则向  $312^{\circ}\sim 326^{\circ}$  移动(平均  $318^{\circ}$ )。

## (六) 双 台 风

当南海台风生成的同时,西太平洋上或南海东部也有台风出现,我们称为双台风。前者称西台风,后者称东台风。东台风的出现,往往使南海上空操纵气流减弱;当东台风北上和转向时,副高常西伸或南落,使南海上空操纵气流增强,因此使南海台风路径复杂多变。经统计分析结果如下:

(1) 双台风开始出现时,若两台风中心距离  $\leq 14$  个纬距,其中心连线与纬圈交角  $\geq 16$  度(详见图 8),则双台风作用显著,西台风未来 2~3 天内路径趋势:

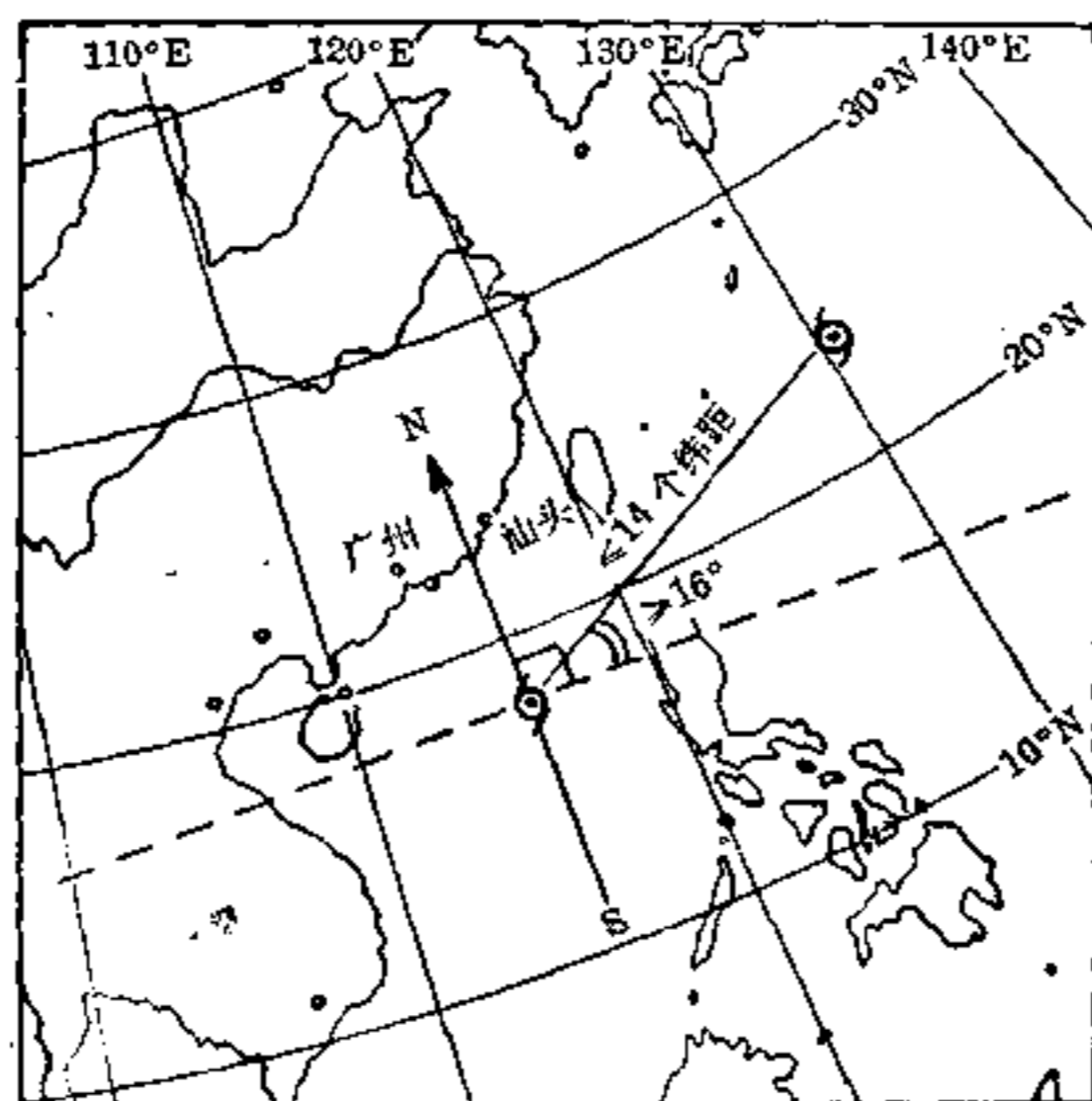


图 8

从 W→E(SE~NE)→N(NNE~NNW) 或从 E(SE~NE)→N(NNE~NNW)

(2) 在西台风向偏北移动过程中,当东台风北上转向时:

如北方有冷空气从东路南下,则西台风向西南移动;

如副高明显西伸,则西台风向偏西移动;

如西台风在副高脊线北侧,则西台风向 NE~NNE 方向移动。

(3) 双台风开始出现时,若两台风中心距离  $> 14$  个纬距,其中心连线与纬线相交的角度  $< 16$  度,则双台风作用不明显。

西台风未来路径趋势,主要受引导气流操纵而定。

(4) 若西台风(不是强台风)东北象限的东台风是强台风,两台风中心距离  $\leq 9$  个纬距,则在未来 6~24 小时内,西台风将减弱为低压或与东台风合并。

#### 四、检验结果

为使初步研究成果更好地用于预报实践,我们把 1972 年的五个南海台风拿来试报,其结果:7204 号台风预报不正确,其余的 7210 号、7211 号、7212 号、7216 号共 4 个台风均是偏西行类,预报与实况一致。试报 5 个台风有 4 个报对,准确率有八成。

1973 年台风季节,我们应用此方法。1973 年在南海生成的台风共 10 个(包括 7313 号台风),除 7312 号台风在北部湾生成,因总结时没有做这类台风的工作,故不能用此法作预报外,其他 9 个台风,8 个预报正确,1 个预报错,准确率八成多。

应用中的体会:

摸形势特征,找指标,由于从天气学分析着手,方法简便,有一定效果。对抛物线行类,